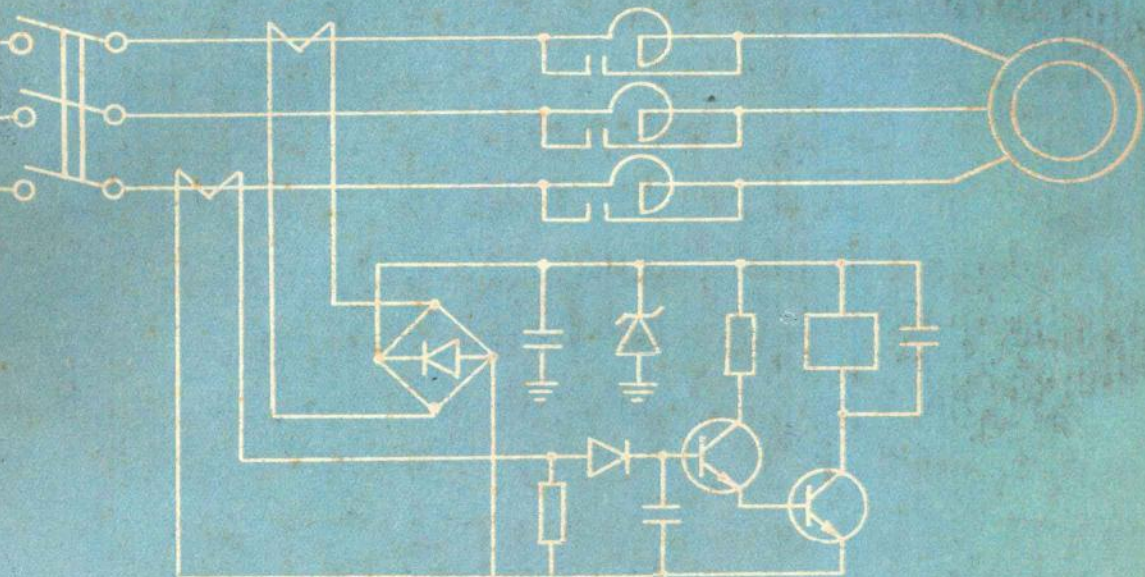


# 电动机节电技术



浙江省科技情报研究所

## 前　　言

电动机是一种重要的原动力设备，其应用遍及工农业生产和生活服务等各个领域。据有关方面统计表明，电动机用电比例约占总发电量的65—70%左右。这些电能在通过电动机转换为机械能的过程中，由于种种原因，有相当部分的电能被无谓损耗掉。尤其是在目前电力供需矛盾突出的情况下，避免或减少这种电能损耗，已引起各方面的日益关注。

造成电动机使用中电能浪费的原因很多。归结起来看，主要有：电动机在使用中组织管理不善；生产设备与配用的电机不合理；生产工艺和设备落后陈旧致使电力消耗增多；电动机运行、控制方式不当等等。这些问题只有通过各种不同的方法、途径，采取相应技术措施才能予以解决。

在上述这些问题中，我们侧重关心的是由于电动机运行不合理、控制方式不当而导致电动机运行中造成电能无谓损耗问题。譬如，有些机械的负荷轻重变化频繁，造成电动机不能稳定地在最佳效率区域内运行；设备的设计要求决定电动机容量不能减小，但实际使用中却经常处于、甚至长期处于额定负载的50%以下运行；因生产设备性能或操作工艺需要，电动机运行中占有大量空载运行时间和辅助工时；需要流量能予调节的风机性负载作恒速运转等等。这些并非能靠改善组织管理、“大马换小马”等手段予以解决，唯有通过技术改造，研

究、采用各种节电技术方能见效。

近年来，我省和兄弟省、市在开展电动机运行、控制方面的节电技术改革中，研制成很多电动机节电技术（装置）。并经实践证明，在解决上述的问题中，取得了显著节电效果。我们通过收集整理，编辑成“电动机节电技术”专集，供我省从事电动机节电工作的同志作借鉴与参考。对于资料中所介绍的每一实例，我们在技术上作了尽可能详细的介绍。

本资料分为四个部分。第一部分，交流电动机变压节电运行。实现电动机变压运行的方法很多，例如，电动机Y—△变换、可控电抗变压运行、可控硅调压运行、控制功率因数节电等，都是目前广为采用的一些节电技术。它们的共同特点是，通过检测、反馈电动机运行中不同参量，经相应的各种控制电路，调整电动机外加电压，使电动机出力与负荷处于最合理的匹配，从而提高电动机效率，减少无功功率和有功功率的损耗。第二部分，交流电动机变速运行节电。电动机变速运行方式很多，这里主要介绍采用可控硅技术，解决企业在生产过程中，因不同工艺、产品等要求，需要不同的机械运行速度，以及对风机性负载实行变速运转节电的实例。从这些事例可以看到，实现电机变速运行后，不仅能满足生产要求，节约相当可观有功电能，有些装置还可向电网馈送无功电能。第三部分，电动机效率测试。考核电动机运行效率、经济性和节电效果，是电动机节电工作中必不可少的一环。鉴于目前大多数企业都缺少专门测试仪器，以及现场测试并不要求有完整的电动机效率等曲线，我们介绍一些简单可行、有一定测试精度保证的计测方法，供进行测试时参考。第四部分，交流接触器无声运行。这是当前较为成熟的一项节电技术。我们介绍的目的，

是为了在进行电动机节电工作的同时，对其相应的电器控制部分中接触器加以改革，以期取得更好节电效果，并期望能对当前正在开展的交流接触器改造工作有所帮助。

应该指出，本资料收集的各个电动机节电实例，都是针对他们各自遇到的问题而采取不同的节电方法，所涉及的各种电气线路也有简有繁，各有千秋，有些则尚属初期研制阶段。因此，我们希望在学习他们的经验时，应根据本单位的实际情况，有所选择，有所创新，以期取得更大的节电效果，并为我省电动机节电工作开创更多更新的路子。

限于我们对材料收集范围不广，还有大量先进的电动机节电技术未被猎及。同时，由于我们的水平有限，内中错误在所难免，请读者批评指正。

一九八二年十一月

# 目 录

## 第一部分 交流电动机变压节电运行

一、DZJ型电动机节能器	( 1 )
二、异步电动机控压节电器	( 2 )
三、采用双向可控硅的三相异步电机节电器	( 4 )
四、YJ型三相异步电动机调压节电器	( 6 )
五、适于织机电机的JNQ—F型省能器	( 10 )
六、冲剪机床电机改成星—角转换运行	( 12 )
七、星接法电动机的JD—A型晶体管节电器	( 13 )
八、机床电机Y/Δ切换运行的几种线路	( 18 )
九、ZH—1省电器	( 24 )
十、继电接触控制的Y/Δ自动切换装置	( 27 )
十一、电动机自动倒换接线	( 33 )
十二、机床电机简易节电装置	( 34 )
十三、采用离合器传动的压机节能控制线路	( 36 )
十四、大型机床应用Y—Δ自动换接节电技术	( 39 )
十五、Y—Δ切换节电在龙门刨床的应用	( 40 )
十六、改革车床控制电路 实行Y/Δ自动换接	( 42 )
十七、机床电机的省能装置	( 44 )
十八、异步电动机Y—Δ运行节电的探讨	( 47 )
十九、机床拖动的异步电动机采用Y—Δ变换可以节电	( 51 )
二十、电抗调压节电	( 56 )
二十一、单相交流感应电动机的节能装置	( 58 )
二十二、织机电机变压运行节能器的设计与应用	( 61 )
二十三、DJD—I型小容量电动机节电器	( 65 )
二十四、切削机床节电技术	( 71 )
二十五、车床电动机在车头停半分钟后再停止运转	( 72 )
二十六、机床空载运行自动停车装置	( 73 )
二十七、锅炉链条炉排的节电控制	( 74 )

## 第二部分 可控硅变速运行节电

一、KGJA—I型可控硅串级调速装置	( 77 )
--------------------	--------

二、锅炉风机可控硅串级调速	( 81 )
三、镗床主轴可控硅无级调速	( 94 )
四、磨木机链条传动可控硅自动调速	( 96 )
五、双层布夹丝光机可控硅直流调速	( 101 )
六、水泥回转窑尾排风机可控硅串级调速	( 107 )

### 第三部分 电动机效率测试

一、小型三相异步电动机任意负载下有功损耗和无功功率的计算	( 113 )
二、用单相有功电度表测功率因数	( 116 )
三、用有功功率表测量无功功率的方法	( 119 )
四、确定三相异步电动机最高效率时输出功率和功率因数	( 121 )
五、用日光灯测定电动机有功负荷	( 123 )
六、泵与风机的运行特性测试	( 125 )

### 第四部分 交流接触器无声运行

一、交流接触器无声运行	( 139 )
二、采用锁相控制技术的接触器直流运行线路	( 143 )
三、交流接触器直流运行的电路分析	( 146 )
四、交流接触器线圈无电压运行	( 151 )
五、交流接触器节电运行改进	( 153 )
六、接触器线圈桥式整流供电无声运行	( 155 )
七、交流接触器直流运行的电源的几个问题	( 162 )
八、交流接触器直流运行的公用电源	( 166 )

# 一、DZJ型电动机节能器

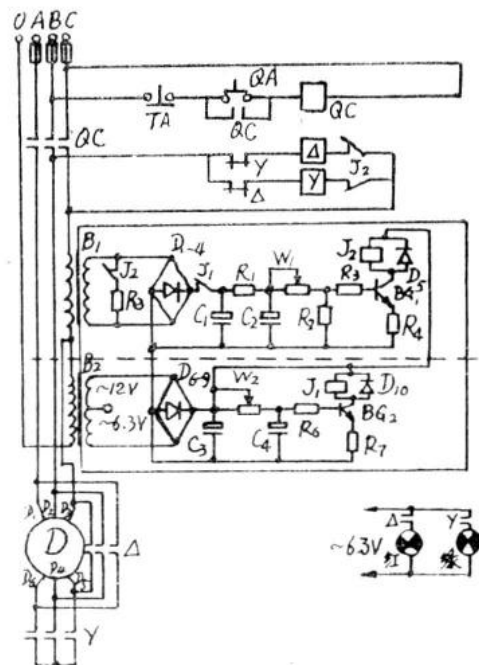
浙江农大校办节电器厂设计、试制成功了一种电动机“ $\Delta$ —Y”自动变换的DZJ型节电器。

节电器的结构如图所示。图中框线内表示节电器结构的平面。线路分两个部分，上半部为延时电路，下半部为开关电路。

节电器的基本原理是， $\Delta$ 接法的电动机(380伏)，采用变换“ $\Delta$ —Y”接线方法，即当电动机在空载或轻载中启动时，可选择Y接法启动，改变电动机启动性能，又减小启动电流，节约启动时的电耗。启动后，若仍无较大负载，电动机仍按Y接法运转，直到负载率超过0.3~0.4时，电动机自动切换成 $\Delta$ 接法运转；一旦负载减小，再自动返回Y接法运转。从而达到节电目的。

节电器的工作过程：启动时，将W<sub>2</sub>调到一定值，继电器J<sub>1</sub>不动作，BG<sub>2</sub>基极无电压，继电器J<sub>2</sub>也不动作，此时电动机呈Y接法运行。启动后，J<sub>1</sub>动作，但电动机负载未超过W<sub>1</sub>调整的整定值时，BG<sub>1</sub>仍截止，J<sub>1</sub>也不动作。随着电动机负载增加到超过整定值时，BG<sub>1</sub>导通，J<sub>2</sub>得电后动作，电动机便自动切换成 $\Delta$ 接法运转。此时，电阻R<sub>5</sub>并接于互感器次级两端，增加J<sub>2</sub>释放时的负载电流，减少回差(即Y— $\Delta$ 切换和 $\Delta$ —Y切换的电流差)。当负载减小，BG<sub>1</sub>基极电流也随之减小，直到BG<sub>1</sub>截止。J<sub>1</sub>失电释放，电动机便又返回Y接法运行。

该节电器适用于 $\Delta$ 接法380伏的电动机。DZJ—1型为直接式，用于4.5~20千瓦的电动机，DZJ—2型要配以适当电流互感器，可用于20千瓦以上的电动机。切换灵敏度均为0.7安。经实际应用，有功电流可节约20~30%，无功电流可节约60~70%，功率因数普遍提高一倍多。



浙江农业大学办节电器厂

## 二、异步电动机控压调节电器

浙江湖州永昌丝织厂针对电动机在空载或轻载时，致使电机效率及线路功率因数降低（图1），造成电能浪费的问题，研制了异步电动机控压调节电器。

通常电动机的输入电压是恒定的，电动机负荷越轻，效率、功率因数也越低。当电动机处于轻载时，如果降低电动机输入电压，使电动机处于一经济运行的电压内，则电动机就等于由原来轻载运行变为“满载”运行，从而降低电动机损耗，达到提高效率，改善线路功率因数目的。控压调节电器就是按不同负荷，自动调节输入电压，使电机出力、功率因素及用电量都处于较佳状态。其控压原理见方框图（图2）。当电动机负荷增大时，功率因素 $\cos\phi$ 也增大，三相输入电压U也增大，电动机出力提高；电动机负荷减小，功率因素 $\cos\phi$ 减小，三相输入电压U也随之减小，电动机出力降低。

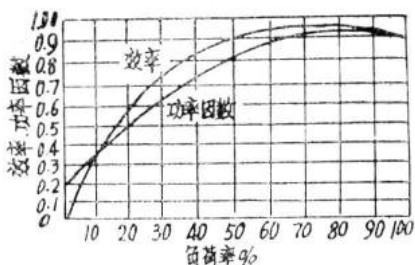


图1 电动机负荷与功率因数、效率关系

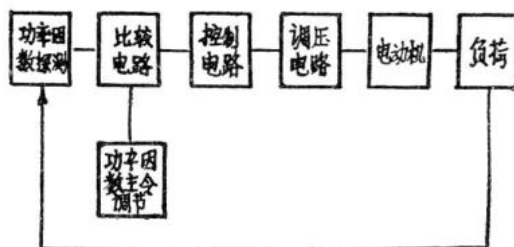


图2 控压调节电器方框图

控压调节电器能自动调节P、F、C（P为输入功率，F为出力，C为功率因数）。当电动机输出电压调整到恰好与负荷匹配时，用电最省。电动机降压后的输出功率可用下式表示：

$$W = W_n \left( \frac{V}{V_n} \right)^2$$

式中：W——输出功率； $W_n$ ——电动机额定功率；V——降压后的电压； $V_n$ ——电动机额定电压。

控压调节电器的电气原理图见图3。

节电器的调压元件，采用可控电抗器（图4）。它是由冷轧硅钢片铁芯和装在铁芯上的绕组所组成。在绕组中，分别通入直流和交流电。改变直流电流的大小，铁芯的饱和程度随之改变，交流电路中的电抗也发生改变，从而达到控制电动机电压的目的。采用可控电抗器能承受较大的过电流、过电压的冲击，可靠性好，久经耐用，成本低，容量大，能适应各种频繁起动、可逆运转的机械设备。且避免了一些电子元件对电网的干扰现象。

控压调节电器经较长时间试运转，性能稳定，节电效果良好，有功节电率在5~40%，无功节电率在20~70%，见图5。

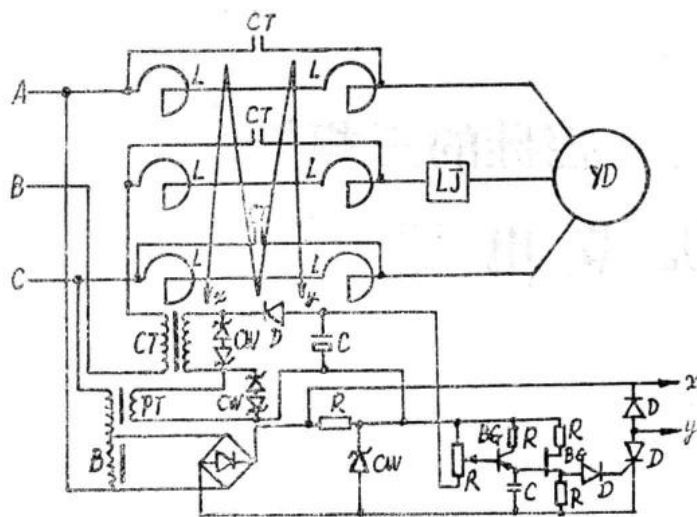


图 3 节电器电气原理图

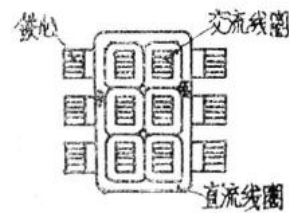


图 4

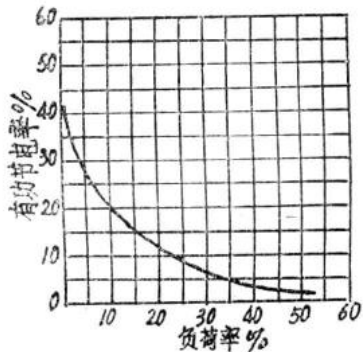
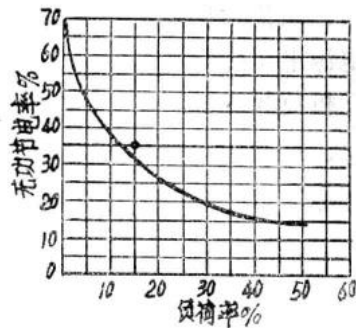


图 5



从图 5 可见，当电动机负载越轻，节电越多，故对负载较轻或负载变化较大的机床，如车床、刨床、钻床、油压机等，均有显著节电效果。

控压节电器结构简单，使用中不需要作任何改动，只要将节电器串入电动机的主回路便可。该厂目前生产有 JD—A 空载节电器 (0.6~1 KW)，1 KW、3 KW、10 KW 控压节电器，其主要技术规格列于下表。

节电器	1 KW	3 KW	10 KW	空载节电器
额定电压 (V)	380	380	380	380
输出电压 (V)	180~375	200~375	220~375	150~160
输出功率 (KW)	1	3	10	0.6~1
输出电流 (A)	3.5	10	25	
重量 (kg)	6	14	25	1.5
体积 (cm <sup>3</sup> )	10×19×19	25×10×9	31×21×14	11.5×13×11
调压结构	三相共芯式	三相六铁芯式	三相六铁芯式	

### 三、采用双向可控硅的三相异步电机节电器

该节电器是杭州机床电器厂研制成功的，它是利用电子装置不断检测电动机的负载和电源电压的变化，来控制电动机主电路上的双向可控硅，自动调节电动机的输入电压值，达到提高功率因素、降低损耗、提高效率、节约电能的目的。

电动机是电感性负载，其电流  $i$  落后于电压  $U$  一个相位角  $\phi$ ，如图 1 所示。当电动机拖动的负载增大时，相位角  $\phi$  自动减小；反之，负载减小时，相位角  $\phi$  自动增大。而电源电压波动时，相位角也会随之变动。电源电压升高，相位角  $\phi$  增大；电源电压降低，相位角  $\phi$  减小。因此，相位角  $\phi$  既能反应电动机负载变化，又能反应电源电压的波动，是一理想的控制量，可利用相位角  $\phi$  通过电子装置转换成触发控制角，来控制电动机主电路上的双向可控硅。

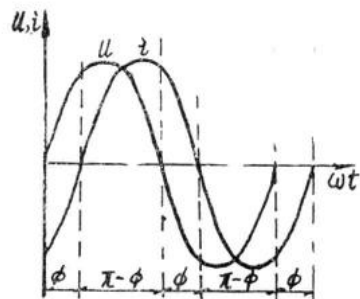


图 1 电压和电流相位关系

假设在  $\phi$  角部分把双向可控硅关断，而在  $(\pi - \phi)$  角部分使双向可控硅导通。这样，当负载增大或电源电压降低时，相位角  $\phi$  自动减小，即  $(\pi - \phi)$  角增大，电动机两端的电压有效值增大；反之，当负载减轻或电源电压升高时，相位角  $\phi$  自动增大，即  $(\pi - \phi)$  角减小，电动机两端的电压有效值减小。这样，就可不断检测电动机负载变化和电源电压的波动，自动调节输入电动机的电压，以达到提高功率因数、降低损耗、提高效率、节约电能的目的。

图 2 是控制线路的原理方框图。电压信号发生器是一个降压变压器，取自电压信号发生



图 2 控制线路原理方框图

器的电压信号输入电压方波发生器(可采用运算放大器)，其输出为一组方波，与电源电压同相。同理，电流信号输入方波发生器的输出亦为一组方波，但相位与电流同相。而这两组方波相位差为 $\phi$ 。将这两组方波同时输入信号比较器(可采用运算放大器)，从而得到一组宽度与 $(\pi - \phi)$ 成比例的脉冲，经触发器后，输出一组具有一定功率、一定相位的触发信号，去控制双向可控硅。同理，可得到其它两组触发信号。三个触发信号分别触发三个双向可控硅，控制三相异步电动机。

图3是电动机的接线图。双向可控硅 $T_c$ 串入电动机电路，将AB相的电压接到电压信号发生器，同时从A相的电阻R取出电流信号，接到电流信号发生器，将三个双向可控硅的控制极接到节电器的触发器，调节节电器上的三个旋扭，使三相电流平衡后，电动机即可投入正常运行。当电动机所拖动的负载发生变化时，由于节电控制器是一闭环控制系统，故能自动瞬时调节，达到节约最大电能的目的。

节电器采用双向可控硅电子元件，控制灵敏度高，不消耗无功电能，节电效果显著。电动机负载与节电百分数的关系如图4所示。当电动机负载率为40%至满载运行时，节电为8~25%；当负载率为20~30%时，节电35~45%；空载运行时，节电50%以上，最高达75~80%。

该节电器自81年9月起，在有关工厂的拉丝机、浆纱机、牛头刨床、冲床等设备上运行表明，性能稳定，工作可靠，节电效果显著，实测节电30%左右，且节约了大量无功电能。它适用于Y型和△型联接的各种容量三相异步电动机。

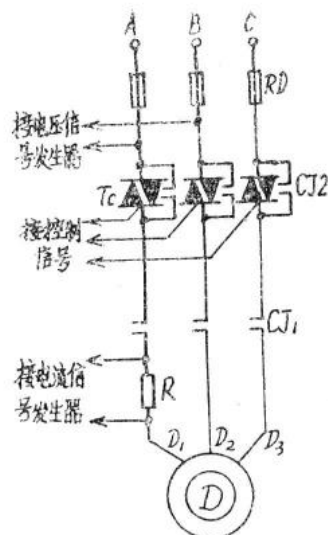


图3 电动机主电路

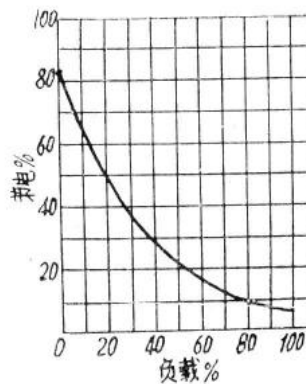


图4 节电百分数与负载率关系

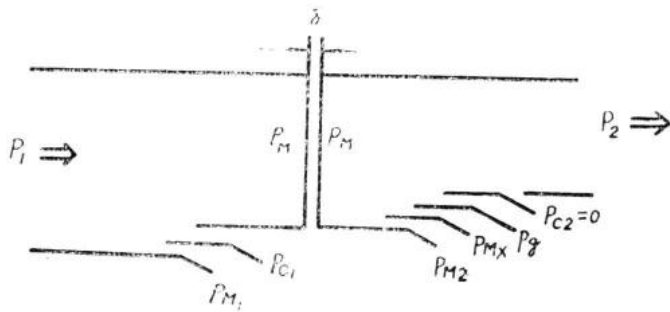
杭州机床电器厂

## 四、YJ型三相异步电动机节电器

电动机节电器应具有线路简单、性能可靠、成本低、便于基层单位使用与维修等特点。根据这些要求，丽水师专与丽水机床厂协作试制成采用开环调节方法的YJ型三相异步电动机节电器。

### 一、节电器开环调压原理

电动机工作过程中的功率消耗关系见图1。



图中： $P_1$ —输入有功功率； $P_{M1}$ —定子绕组铜损； $P_{C1}$ —铁芯激励损失； $P_M$ —气隙中电磁功率； $P_{M2}$ —转子绕组铜损； $P_{MX}$ —通风、摩擦损耗； $P_g$ —杂散损耗； $P_2$ —输出机械功率。

图 1

从图1可知，所谓节电，实质上就是在保证供给所需的机械功率 $P_2$ 前提下，设法减少电动机的有功和无功电能的损耗，以提高电动机的效率 $\eta$ 和功率因数 $\cos \phi$ 。电动机的负载越轻， $\eta$ 和 $\cos \phi$ 则越差，因而其节电潜力也越大。如果在电动机轻载时，适当地降低电动机端电压，以此提高 $\eta$ 和 $\cos \phi$ ，就可节约很大的无功和有功电能。我们以JO<sub>2</sub>—32—4、3KW的电动机作了降压试验，得到了电动机在不同端电压时的无功功率损耗曲线如图2，有功功率损耗曲线见图3。

从这二簇曲线可见，降低电压可以节约较多的无功电能。对有功损耗来说，额定效率低的节电较多，负载率 $P_2/P_{N2}$ 小时节电多。因此在设计时，我们采用将电动机端电压根据负载的变化，并以最佳节电为原则加以跟踪增减的开环调压方案，并在电机负载达到50%左右时，将节电器短接。整个节电器的电气原理图见图4。图中Z为单铁芯圆柱型三相电抗器，CJ<sub>1</sub>、CJ<sub>2</sub>为交流接触器，R<sub>1</sub>、R<sub>2</sub>为分流电阻。节电器动作由电流加以控制，其整个工作过程可叙述如下：

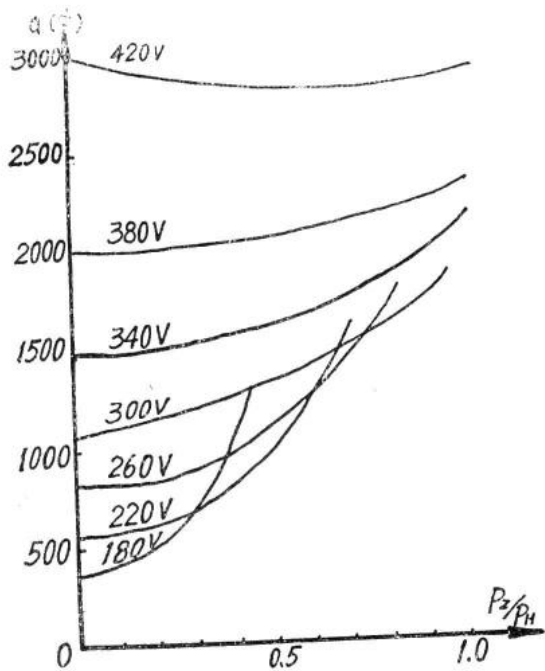


图 2  $Q = f(P_2/P_H)$

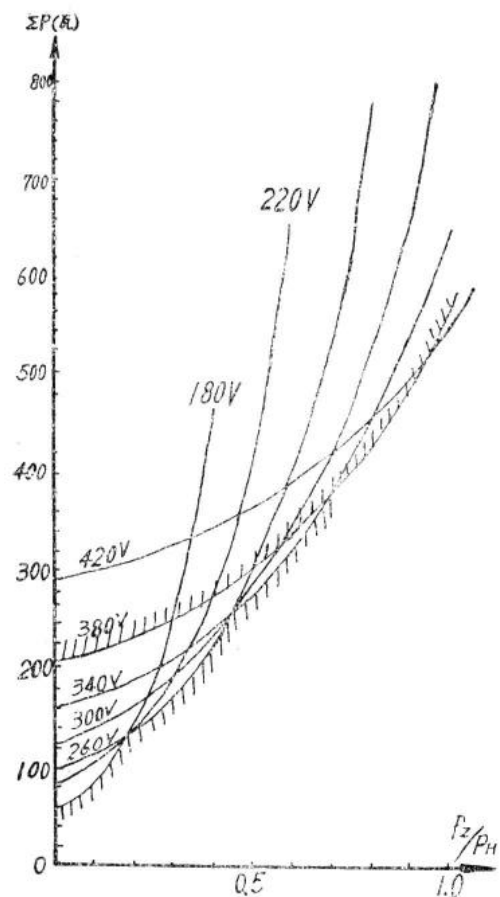


图 3  $\Sigma P = f(P_2/P_H)$

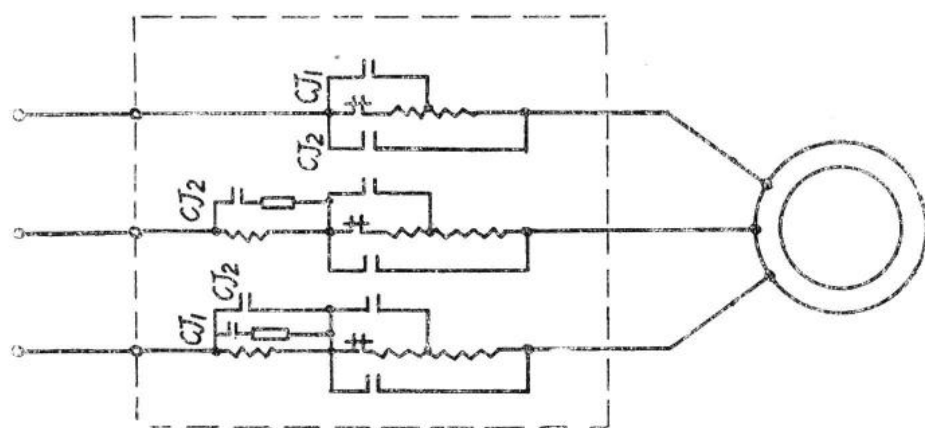


图 4 节电器原理图

1、电动机空载时，交流接触器均不吸合，三相电抗器串入电路，电动机降压运行以节电。

2、当电机负载增加，电机电流随之增大，到负载率 $\geq 25\%$ 时，第一级接触器动作，三相电抗器的感抗减小，电动机的端电压适当增加；如果电机负载继续增加，电机电流也继续

增加，到负载率 $\geq 50\%$ 时，第二级接触器也开始动作，将三相电抗器短接，电动机在电网电压下运行。

3、当电机负载又变小时，电机的电流随之减小，使第二级、第一级接触器相应释放，电动机又恢复降压节电运行。

4、电动机起动时，开始是降压运行，待起动电流足够大时，第一级、第二级接触器相继动作，三相电抗器被短接，电动机全压起动。

节电器线路的主要特点：

1、采用单铁芯圆柱型三相电抗器。

电抗器三相绕组在空间互差 $120^\circ$ ，通入三相交流电后将产生旋转磁场。因此它有下列优点：

(1) 磁链紧凑，磁性能良好——三相对称性好；

(2) 节约材料，减少损耗——可节约硅钢片30%左右；节约漆包线50%左右。因此减少了铁耗和铜耗；

(3) 三相绕组分散在若干槽中，对散热和绝缘性能均带来好处；

(4) 减小外形尺寸50%左右。

2、节电器的控制环节简单可靠：

(1) 接触器采用电流控制；

(2) 利用分流电阻R，提高接触器的返回系数。

## 二、节电效果

被试电动机铭牌参数(杭州电器厂生产)为：

JO<sub>2</sub>-32-4；3KW；1430转/分；380伏/Y；I<sub>1H</sub>=6.47安。

第一级节电效果：有功功率节电率 $\Delta P/P_1 (\%) = f(P_2/P_H)$ 与无功功率节电率 $\Delta Q/Q (\%) = f(P_2/P_H)$ 见图5和图6中的曲线1。

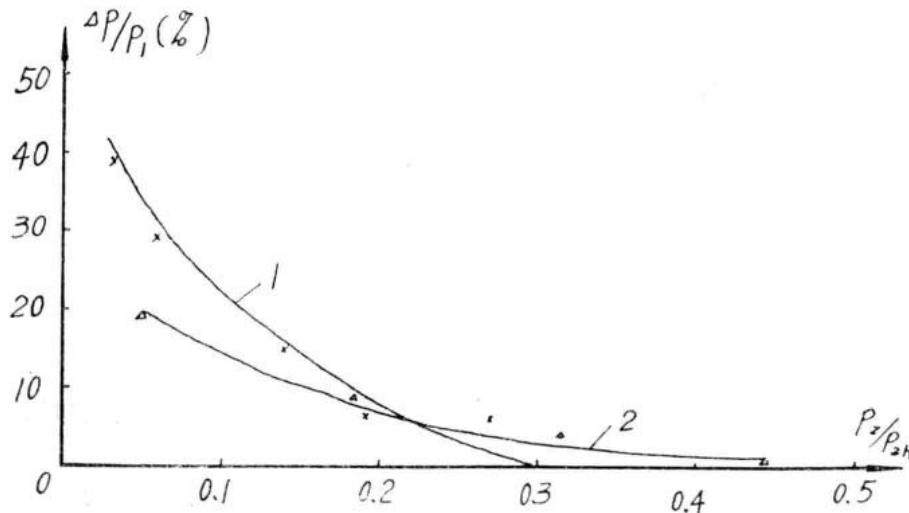


图 5

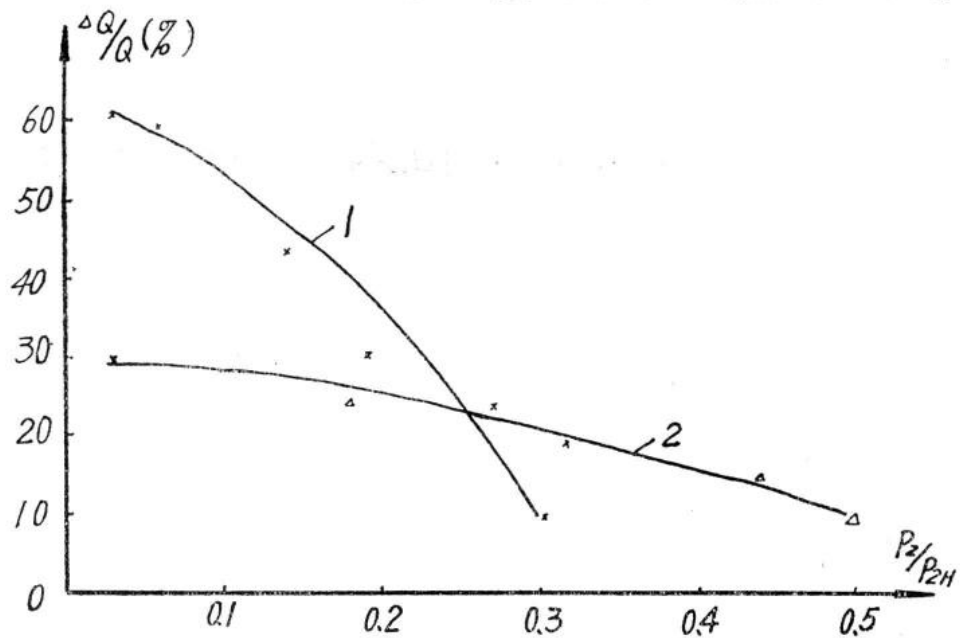


图 6

第二级节电效果：有功功率节电率  $\Delta P/P_1\% = f(P_2/P_{2H})$  与无功功率节电率  $\Delta Q/Q\% = f(P_2/P_{2H})$  见图 5 和图 6 中的曲线 2。

### 三、节电器的适用范围

该节电器仅适用于经常处于空载或轻载的生产机械，例如一般机床动力设备〔国内外资料表明，机床待切削时间一般为(30~60)%，轻载时间占(20~30)%，负载率在50%以上时间占(20~30)%〕和其它轻纺机械等生产设备。尤其是对目前使用量较大的3KW以下的小容量电动机，它们的 $\eta_H$ 与 $\cos \phi_H$ 都较低，而且为380伏/Y联接，不宜采用“△—Y”变换的节电方法。而YJ型节电器的降压范围是可以任意设计的，因而它对3KW以下的小容量电动机节电有较好的效果。

浙江丽水师专

## 五、适于织机电机的JNQ—F型省能器

目前纺织系统中的织机大多数仍由人工换梭操作，织机的效率一般在60~85%左右，织机电机实际负荷多在35~65%内，可见工作状态多数在轻载范围。尽管织机电容量较小（一般在0.6~1 KW），但电力浪费仍是比较可观。根据织机的工作特点，浙江丝绸工学院和杭州第二电子管厂联合设计了“JNQ—F型”电动机省能器，对于棉、麻、丝绸等纺织系统中织机电机节能，能得到明显的节电效果。该省能器具有电气性能可靠、结构简单、体积小、成本低等特点，且安装维修也极为方便。

### 一、工作原理

当合上 $D_K$ ，使织机电通电启动后，电机处于空载运转状态。这时将织机操作手柄移开挂挡，瞬间传感器——即转换开关，驱动中间交流接触器，使其处于常开触点 $J_2$ 断开，常闭触点 $J_1$ 闭合状态，织机电机即进入满载运转。当织机需停机时，将织机操作手柄复位，在转换开关作用下，交流接触器由常闭转为常开，三相电压就经多匝电抗器降压，供电机低压运转。当恢复织机工作时，再将手柄返回原满载运转。

传感器中副设的辅助启动开关，是在电网电压波动时，能使电机正常启动的辅助装置。当低压供电时（最低达340伏），按住辅助开关，可瞬间改变中间转换的工作状态，即使常开转为常闭，使之提高电压，增大电流，启动电动机，待电机正常运转后再松手。

整个节电器的电原理图见图1、图2。

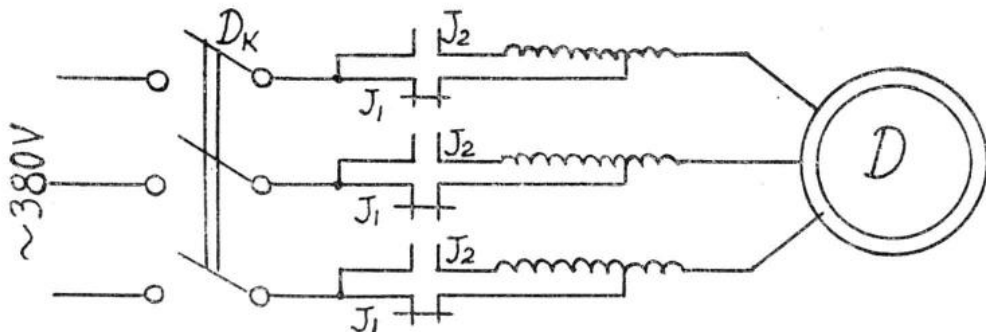


图1 节电器电原理图

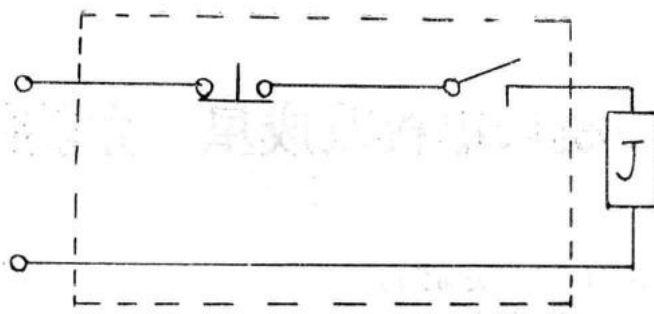


图 2 传感器原理图

节电器的技术性能如下：

1. 节电器功耗不大于15W
2. 节能定额电流为 3 A
3. 电动机电源电压  $380V \pm 40V$ , 频率50HZ
4. 传感器输入工作电压为36V
5. 传感器安装面倾斜度小于  $\pm 30^\circ$
6. 工作环境温度  $-25^\circ C \sim +55^\circ C$

## 二、节能效果

经在K272织机(电动机型号FO53—6型)上使用实测，其对比数据见表。

工作状态		电网电压 (V)	电流I (A)	功率P (W)	功率因数 $\cos \phi$	有功节电 %	无功节电 %	日用电量 度/日
轻载	无节电器	380	1.224	221.5	0.207	47.8	42.6	无节电器
	有节电器	380	0.703	115.5	0.250			11.71
满载	无节电器	380	1.465	415	0.3992	9.2	14.6	有节电器
	有节电器	380	1.255	376.5	0.436			10.49

从上表可知，当织机满载时有功节电率达9.2%，无功节电率达14.6%；轻载时有功节电率达47.8%，无功节电率达42%，每天一台织机节电1.22度。而织机节能器成本在30元左右，投资约可在10个月收回。

杭州市第二电子管厂